https://doi.org/10.22416/1382-4376-2025-35-2-105-118 УЛК 616.36-097-07:577.21



# Встречаемость аллелей генов *HLA-A/B/C/DPB1/DQB1/DRB1* при аутоиммунном гепатите (результаты одноцентрового исследования)

М.Д. Чанышев<sup>1\*</sup>, Ю.Г. Сандлер<sup>2</sup>, Н.В. Власенко<sup>1</sup>, Н.А. Бодунова<sup>2</sup>, А.Г. Глущенко<sup>1</sup>, А.С. Чегодарь<sup>2</sup>, А.В. Выходцева<sup>1</sup>, Е.В. Винницкая<sup>2</sup>, К.Ф. Хафизов<sup>1</sup>, В.Г. Акимкин<sup>1</sup>

**Цель работы:** определение аллелей генов *HLA*, ассоциированных с аутоиммунным гепатитом (АИГ) и перекрестным синдромом (ПС), в российской популяции.

**Материалы и методы.** Исследование включало 160 взрослых пациентов с верифицированным диагнозом АИГ или ПС. Контрольная группа — 320 условно здоровых участников. Для типирования аллелей генов *HLA* класса I и II использовали разработанную нами панель NGS. Статистический анализ проводился с использованием критерия согласия Пирсона  $\chi^2$  с множественной поправкой FDR при исходном заданном p < 0.05. Для оценки аллелей *HLA* как предикторов заболевания применялась модель логистической регрессии.

**Результаты.** Были определены аллели и гаплотипы, частота встречаемости которых статистически достоверно различалась в исследуемой и контрольной группах. В исследуемой группе чаще встречались аллели HLA-A\*01:01:01 (ОШ = 2,15; 95 % ДИ: 1,43-3,23), HLA-B\*08:01:01 (ОШ = 3,38; 95 % ДИ: 2,10-5,44), HLA-C\*07:01:01 (ОШ = 1,90; 95 % ДИ: 1,30-2,78), HLA-DPB1\*01:01:01 (ОШ = 3,22; 95 % ДИ: 1,58-6,55), DQB1\*02:01:01 (ОШ = 3,11; 95 % ДИ: 2,06-4,70), HLA-DRB1\*03:01:01 (ОШ = 3,03; 95 % ДИ: 2,02-4,55). Частота встречаемости аллеля DQB1\*03:01:01 в исследуемой группе была ниже, чем в контрольной (ОШ = 0,49; 95 % ДИ: 0,34-0,71). Была построена модель логистической регрессии, которая характеризовалась точностью 0,688, чувствительностью 0,487, специфичностью 0,887.

**Выводы.** На репрезентативной выборке российской популяции были определены аллели и гаплотипы генов *HLA*, ассоциированные с АИГ и ПС.

**Ключевые слова:** аутоиммунный гепатит, человеческий лейкоцитарный антиген, *HLA* I и II класса, аллели, гаплотип

Конфликт интересов: авторы заявляют об отсутствии конфликта интересов.

**Для цитирования:** Чанышев М.Д., Сандлер Ю.Г., Власенко Н.В., Бодунова Н.А., Глущенко А.Г., Чегодарь А.С., Выходцева А.В., Винницкая Е.В., Хафизов К.Ф., Акимкин В.Г. Встречаемость аллелей генов *HLA-A/B/C/DPB1/DQB1/DRB1* при ауто-иммунном гепатите (результаты одноцентрового исследования). Российский журнал гастроэнтерологии, гепатологии, колопроктологии. 2025;35(2):105–118. https://doi.org/10.22416/1382-4376-2025-35-2-105-118

## Occurrence of Alleles of the *HLA-A/B/C/DPB1/DQB1/DRB1* Genes in Autoimmune Hepatitis (Results of a Single-Center Study)

Mikhail D. Chanyshev<sup>1\*</sup>, Yulia G. Sandler<sup>2</sup>, Natalia V. Vlasenko<sup>1</sup>, Natalia A. Bodunova<sup>2</sup>, Albina G. Glushchenko<sup>1</sup>, Anzhelika S. Chegodar<sup>2</sup>, Anastasiia V. Vykhodtseva<sup>1</sup>, Elena V. Vinnitskaya<sup>2</sup>, Kamil F. Khafizov<sup>1</sup>, Vasiliy G. Akimkin<sup>1</sup> Central Research Institute of Epidemiology of the Federal Service for Surveillance on Consumer Rights Protection and Human Wellbeing, Moscow, Russian Federation

**Aim:** determination of alleles of *HLA* genes associated with autoimmune hepatitis (AIH) and overlap syndrome (OS) in the Russian population.

**Materials and methods.** The study included 160 adult patients with a verified diagnosis of AIH or OS. The control group consisted of 320 conditionally healthy participants. A custom NGS panel was used to type the alleles of the *HLA* class I and II genes. The statistical analysis was carried out using Pearson's  $\chi^2$  test with multiple FDR correction (p < 0.05). A logistic regression model was used to evaluate *HLA* alleles as predictors of the disease.

**Results.** Alleles and haplotypes which frequencies have statistically significant difference in the study and control groups were identified. In the study group, alleles HLA-A\*01:01:01 (OR = 2.15; 95 % CI: 1.43-3.23), HLA-B\*08:01:01 (OR = 3.38; 95 % CI: 2.10-5.44), HLA-C\*07:01:01 (OR = 1.90; 95 % CI: 1.30-2.78), HLA-DPB1\*01:01:01 (OR = 3.22; 95 % CI: 1.58-6.55), DQB1\*02:01:01 (OR = 3.11; 95 % CI: 2.06-4.70), HLA-DRB1\*03:01:01 (OR = 3.03; 95 % CI:

<sup>&</sup>lt;sup>1</sup> БУН «Центральный научно-исследовательский институт эпидемиологии» Федеральной службы по надзору в сфере защиты прав потребителей и благополучия человека, Москва, Российская Федерация

<sup>&</sup>lt;sup>2</sup> ГБУЗ «Московский клинический научно-практический центр им. А.С. Логинова» Департамента здравоохранения города Москвы, Москва, Российская Федерация

<sup>&</sup>lt;sup>2</sup> Loginov Moscow Clinical Scientific Center, Moscow, Russian Federation

2.02–4.55) were more common. Frequency of occurrence of the DQB1\*03:01:01 allele in the study group was lower than in the control group (OR = 0.49; 95 % Cl: 0.34–0.71). A logistic regression model was built, which was characterized by an accuracy of 0.688, a sensitivity of 0.487, and a specificity of 0.887.

**Conclusion.** Alleles and haplotypes of *HLA* genes associated with AIH and OS were identified in a representative sample of the Russian population.

**Key words:** autoimmune hepatitis, human leukocyte antigen, *HLA* class I and II, alleles, haplotype **Conflict of interest:** the authors declare no conflict of interest.

**For citation:** Chanyshev M.D., Sandler Yu.G., Vlasenko N.V., Bodunova N.A., Glushchenko A.G., Chegodar A.S., Vykhodtseva A.V., Vinnitskaya E.V., Khafizov K.F., Akimkin V.G. Occurrence of Alleles of the *HLA-A/B/C/DPB1/DQB1/DQB1/DRB1* Genes in Autoimmune Hepatitis (Results of a Single-Center Study). Russian Journal of Gastroenterology, Hepatology, Coloproctology. 2025;35(2):105–118. https://doi.org/10.22416/1382-4376-2025-35-2-105-118

#### Введение

Аутоиммунные заболевания представляют обширную группу патологических состояний, характеризующихся потерей иммунной системой толерантности к собственным клеткам и тканям. К подобного рода патологиям относится аутоиммунный гепатит (АИГ). Аутоиммунные заболевания печени, в целом, возникают относительно редко. Так, согласно метаанализу J.W. Hahn et al. (2023), глобальная совокупная заболеваемость и распространенность АИГ составили 1,28 случая на 100 тыс. населения в год и 15,65 случая на 100 тыс. населения соответственно [1]. В частности, заболеваемость АИГ в Дании составляет 1,68 случая на 100 тыс. населения в год [2], в США -4 случая на 100 тыс. населения в год [3]. Следует отметить, что распространенность АИГ среди населения мира имеет стойкую тенденцию к росту с вовлечением пациентов любого возраста, от детского до пожилого. В структуре заболевания АИГ преобладает женский пол, и соотношение женщин к мужчинам составляет в среднем 4:1 [4-6]. Причины возникновения АИГ остаются достоверно неизвестными, но предполагается, что важную роль в развитии заболевания играют генетическая предрасположенность, факторы окружающей среды, в том числе инфекции, принимаемые препараты [7, 8].

Одним из ключевых диагностических маркеров АИГ являются аутоантитела (АТ). Несмотря на то что международная группа по АИГ не рекомендовала классифицировать АИГ по профилю АТ [9], исторически пациенты с АИГ изучались в контексте разделения АИГ на 1-й и 2-й тип в зависимости от профиля АТ. В случае 1-го типа пациенты положительны по ANA (anti-nuclear antibodies – антинуклеарные AT) и/или SMA (smooth muscular antibodies — антигладкомышечные AT). Подтип АИГ-2 определяется значительно реже и характеризуется циркулирующими anti-LKM1 (anti-liver kidney microsomal antibody type 1 - AT к микросомам печени и почек), anti-LKM3 и/или anti-LC1 (anti-liver cytosol type 1 antibody — AT к печеночному цитозолю) [10]. Титр и спектр АТ в дебюте заболевания и в дальнейшем при терапии не являются у взрослых точными показателями тяжести

заболевания или прогноза [11]. У одного и того же пациента с АИГ могут встречаться сразу несколько АТ, или же их спектр может меняться: «исчезают» одни и появляются другие, потеря АТ может быть связана с улучшением лабораторных показателей и морфологических результатов активности, но их исчезновение не предсказывает успешный результат терапии [12].

У генетически предрасположенных пациентов с АИГ может обостряться аутоиммунная деструкция желчных протоков, что приводит к смешанной клинической картине АИГ и первичного билиарного холангита (ПБХ) у таких пациентов. Наличие двух аутоиммунных заболеваний у одного пациента принято называть аутоиммунным перекрестным синдромом (ПС), или вариантной формой АИГ с признаками ПБХ (АИГ/ПБХ), которая представляет собой особую гибридную форму или атипичный фенотип АИГ, когда пациенты наряду с клинико-морфологической картиной АИГ имеют некоторые лабораторные, и/или иммунологические, и/или гистологические признаки ПБХ. Клиническая значимость выделения фенотипов ПС прежде всего — это выявление пациентов с АИГ, которые, кроме иммуносупрессивной терапии (ИСТ), нуждаются в дополнительной, комбинированной терапии, включающей как урсодезоксихолевую кислоту (УДХК), так и препараты ИСТ, что может приводить к более благоприятным биохимическим и гистологическим ответам [13, 14].

При исследовании генетических факторов наибольшее внимание уделялось генам HLA, кодирующим компоненты системы главного комплекса гистосовместимости. Гены HLA располагаются на 6-й хромосоме и отличаются огромной вариабельностью. В многочисленных работах показана связь определенных аллелей и гаплотипов генов HLA и различных заболеваний, в том числе аутоиммунных [15, 16]. В ряде работ уже показана ассоциация аллелей HLA и заболеваемости АИГ. Интересно, что для различных популяций аллели высокого риска и протективные аллели различались. Для североамериканской и датской популяций была показана ассоциация между АИГ

и аллелями HLA-DRB1\*03:01 и HLA-DRB1\*04:01 [17. 18]. HLA-DRB1\*04:01 также был отмечен как аллель высокого риска для японской популяции [19]. В исследовании на аргентинской популяции аллели HLA-DRB1\*04:05 и HLA-DRB1\*13:01 были определены как аллели высокого риска, в то время как HLA-DRB\*13:02 был связан с низким риском АИГ [20]. DRB1\*08:02 и DRB1\*08:03 были отмечены как факторы высокого риска в Японии, DRB1\*04:05 — в корейской популяции, DRB1\*13 и DRB1\*14 — в Пакистане, DRB1\*04:05, DRB1\*13:01, DQB1\*02 и DQB1\*06:03 — в Латинской Америке [8]. В популяции китайских пациентов с АИГ, положительных по anti-SLA/LP, отмечалась повышенная частота встречаемости аллелей В\*35:01 и С\*08:01 [21]. По нашим сведениям, в России было опубликовано одно исследование АИГ и *HLA*. На выборке из 54 пациентов с аутоиммунными заболеваниями печени (18 чел. с АИГ, 14 чел. с ПС) и на 100 контрольных образцах было показано увеличение частоты встречаемости аллелей A24, B27, DRB1\*04, DQB1\*02:01 и DQB1\*03:02 при АИГ и B35, DRB1\*14, DOB1\*06:03 при ПС [22].

Следует отметить, что большинство приведенных выше исследований HLA выполнены при помощи наименее точного серологического метода или при помощи ПЦР [23]. В единственной опубликованной в России работе выборка пациентов с АИГ крайне незначительна. Мы разработали панель NGS для быстрого и надежного типирования аллелей генов HLA-A/B/C/DPB1/DQB1/DRB1 и определили аллели данных генов в 160 образцах пациентов с АИГ или ПС и в 320 образцах контрольной группы.

#### Материалы и методы исследования

#### Пациенты

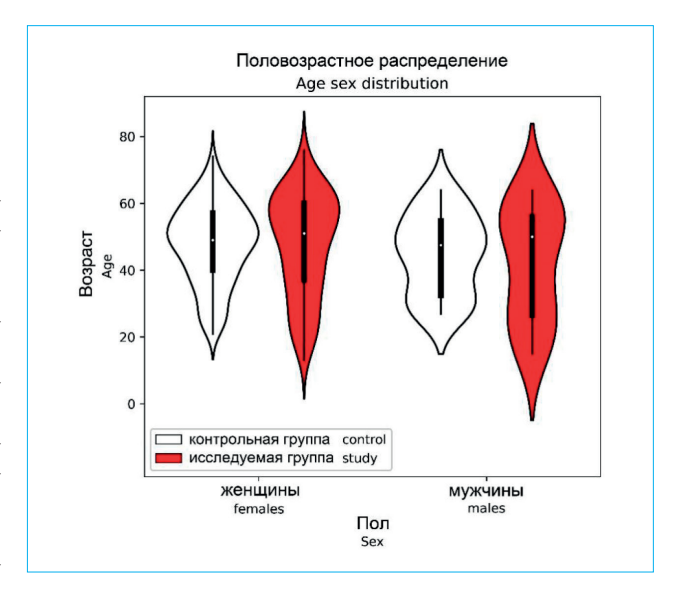
Исследуемая группа включала 160 взрослых пациентов с АИГ (n=124) и ПС (n=36), преимущественно женщины (91 %). Общая характеристика пациентов представлена в таблице 1.

Диагноз установлен согласно упрощенным диагностическим критериям [24]. Всем пациентам была проведена биопсия печени с морфологической верификацией. В исследование также были включены 36 пациентов с ПС (АИГ с признаками ПБХ), которые наряду с клинико-иммунологическими и морфологическими признаками АИГ (повышенный уровень IgG, наличие AT типичных для АИГ (ANA, ASMA, SLA/LP, LKM-1, LC-1), пограничный гепатит с лимфоплазмоцитарной инфильтрацией, умеренной или высокой гистологической активностью), имели некоторые признаки ПБХ. Из 36 пациентов у 15 выявлены ПБХ спе-цифичные AT (AMA или sp100, gp210), 20 имели уровень Щ $\Phi$  от 1,5 до 3,0 от ВГН и 17 неярко выраженные гистологические признаки поражения желчных протоков. Все пациенты получали ИСТ: системные глюкокортикостероиды (реже топические, n=14) и азатиоприн, а пациенты с АИГ/ПБХ дополнительно получали препараты УЛХК.

Контрольная группа включала 320 условно здоровых взрослых участников исследования. На рисунке 1 представлена половозрастная диаграмма исследуемой и контрольной группы. Для сравнения групп использовался U-критерий Манна — Уитни. Исследуемая и контрольная группы не характеризуются статистически значимым (p < 0.05) различием в возрасте как отдельно для каждого пола (p = 0.54 — для женщин, p = 0.81 — для мужчин), так и для всех участников (p = 0.6)

#### Секвенирование НLА

Выделение ДНК из образцов крови проводили с использованием набора реагентов «РИБО-преп» («АмплиСенс», Россия). Концентрацию геномной ДНК измеряли с помощью набора Quantum («Евроген», Россия). Для амплификации экзонов HLA-A/B/C/DPB1/DQB1/DRB1 пользовалась разработанная нами панель праймеров. Мультиплексную ПЦР-амплификацию проводили в двух отдельных реакциях, содержащих по 10 нг матричной ДНК, 10 мкл PCR-mix-2-blue («АмплиСенс», Россия), 1,4 мкл dNTP 4,4 мМ («АмплиСенс», Россия), праймеры и стерильную воду в конечном объеме 25 мкл. Профиль амплификации: 1) денатурация при 95 °C, 3 мин; 2) 16 циклов амплификации: 95 °C, 30 c; 55 °C, 30 c; 72 °C, 20 c; 3) финальная элонгация при 72 °C в течение 3 мин. Объединенные продукты ПЦР



**Рисунок 1.** Половозрастная диаграмма исследуемой (n=160; 145 женщин и 15 мужчин) и контрольной (n=320; 290 женщин и 30 мужчин) групп

**Figure 1.** Age and gender diagram of the study (n = 160; 145 women and 15 men) and control (n = 320; 290 women and 30 men) groups

**Таблица 1**. Общая характеристика пациентов **Table 1.** Overall characteristics of patients

Характеристика Characteristics	Включенные пациенты Patients included in the study n = 160
Демографические данные / Demographics	
Возраст, лет / Age, years; Me (IQR)	51,0 (36,0-60,0)
Женщины, n (%) / Women; n (%)	145 (91 %)
ИМТ / BMI; Me (IQR)	25,0 (20,5–27,0)
Биохимические показатели / Biochemical parameters, Me (IQR)	
Аланинаминотрансфераза, Ед./л / Alanine aminotransferase, U/L	610,0 (260–1100)
Аспартатаминотрансфераза, Ед./ $\pi$ / Aspartate aminotransferase, $U/L$	450,0 (190,0–965,0)
$\Gamma$ амма-глутамилтранспептидаза, Ед./л / $Gamma$ -glutamyltranspeptidase, $U/L$	83,0 (39,0-175,0)
Общий билирубин, мкмоль/л / Total bilirubin, umol/L	19,7 (14,0-49,0)
Щелочная фосфатаза, Ед./л / Alkaline phosphatase, $U/L$	121 (105–230)
Иммуноглобулин G, г/л / Immunoglobulin G, $g/L$	21,5 (17,0–29,0)
Наличие антител / Presence of antibodies	
ANA, n	159/160
ASMA, n	53/139
LKM-1, n	9/130
AMA / sp100, gp210, n	15/160
Серонегативные, $n \ / \ Seronegative$ , $n$	1/160
Морфологическая верификация, n (%) / Morphological verification, n (%)	-1
Аутоиммунный гепатит / Autoimmune hepatitis	125 (78,1)
Аутоиммунный гепатит с признаками первичного билиарного холангита Autoimmune hepatitis with signs of primary biliary cholangitis	25 (21,9)
Гистологические признаки: активность и фиброз (по METAVIR)  Histological features: activity and fibrosis (according to METAVIR)	
F0, n (%)	18 (11,2 %)
F, n (%)	36 (22,5 %)
F2, n (%)	30 (18,8 %)
F3, n (%)	39 (24,4 %)
F4, n (%)	37 (23,1 %)
Тяжелый фиброз $\geq$ F3, $n$ (%) / Severe fibrosis $\geq$ F3, $n$ (%)	76 (47,5 %)
Цирроз печени F4, n (%) / Liver cirrhosis F4, n (%)	37 (23,1 %)
A0, n (%)	0 (0 %)
A1, n (%)	41 (25,6 %)
A2, n (%)	60 (37,5 %)
A3, n (%)	59 (36,9 %)
Активность $\geq$ A2, $n$ (%) / $Activity \geq$ A2, $n$ (%)	119 (74,4 %)
Наличие иммуноопосредованных заболеваний, n (%) Presence of immune-mediated diseases, n (%)	64 (40 %)
Аутоиммунные заболевания щитовидной железы, $n$ Autoimmune thyroid diseases, $n$	21 / 64
Аутоиммунное заболевание соединительной ткани, <i>n</i> Autoimmune connective tissue disease, n	15 / 64
Воспалительные заболевания кишечника, $n$ / $Inflammatory$ $bowel$ $diseases$ , $n$	10 / 64
Другие, n / Others, n	18 / 64

**Примечание:** F- стадия фиброза по шкале METAVIR; A- степень гистологической активности по шкале METAVIR. **Note:** F- stage of fibrosis according to the METAVIR scale; A- degree of histological activity according to the METAVIR scale.

очищали с использованием магнитных частиц AMPure XP (Beckman Coulter, США) в соотношении 0,8: 1, объем элюирования составлял 15 мкл. ПЦР-индексацию проводили в реакционном объеме 25 мкл, содержащем 10 мкл PCR-mix-2-blue («АмплиСенс», Россия), 1,4 мкл dNTP 4,4 мМ («АмплиСенс», Россия), 5 мкл очищенных ПЦРпродуктов, стерильную воду и индексные адаптеры Nextera Illumina, конечная концентрация каждого праймера составляла 200 нМ. Профиль амплификации: 1) денатурация при 95 °C в течение 1 мин; 2) 25 циклов амплификации: 95 °C, 20 с; 55 °C, 30 c; 72 °C, 20 c; 3) финальная элонгация при 72 °C в течение 3 мин. Продукты ПЦР визуализировали с помощью электрофореза в 1,7 % агарозном геле. Смешанные продукты индексации очищали при помощи магнитных частиц AMPure XP (Beckman Coulter, США) в соотношении 0,8 : 1. Концентрации очищенной библиотеки измеряли с использованием набора Qubit dsDNA HS Assay Кіт и флуориметра Qubit 4.0 (Invitrogen, США). Высокопроизводительное секвенирование проводили на платформе Illumina MiSeq с набором реагентов MiSeq Reagent Kit v3 (600 циклов).

Биоинформатика: типирование аллелей HLA Качество данных секвенирования контролировали с помощью FastQC. Адаптерные последовательности удалялись с использованием утилиты Trimmomatic. Праймерные последовательности удалялись с помощью утилиты Cutadapt. Утилита Bowtie2 использовалась для картирования прочтений на референс. Для типирования аллелей использовалась программа SpecHLA [25]. Результаты SpecHLA были дополнительно верифицированы собственным скриптом Python.

#### Статистика

Все статистические расчеты проводились в программной среде Python с использованием библиотек Numpy, Pandas, SciPy, Stats. Визуализация полученных данных осуществлялась с использованием библиотек Seaborn и Matplotlib.

Статистика хи-квадрата Пирсона использовалась для сравнения частот аллелей и гаплотипов. Поправку на множественные сравнения проводили с помощью FDR,  $p_{\rm FDR} < 0.05$  считали статистически значимым.

#### Результаты исследования

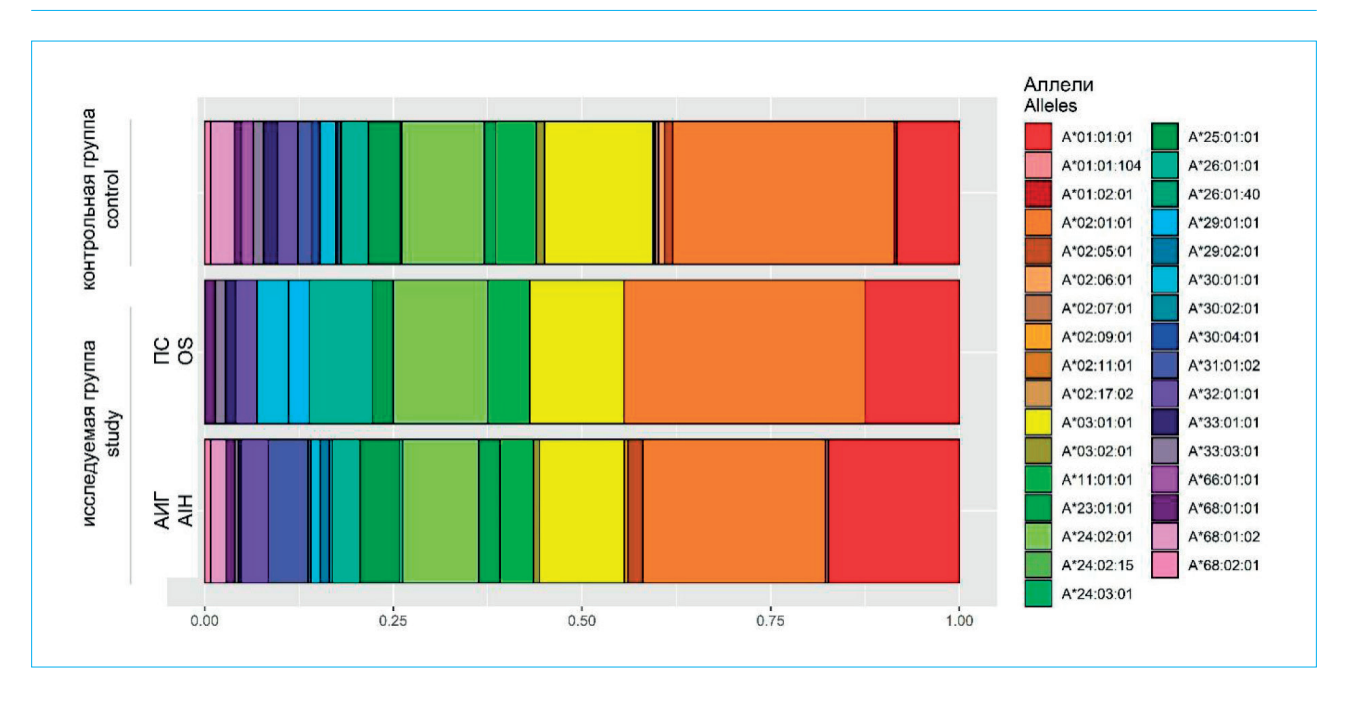
#### Встречаемость аллелей НLА

В первую очередь нами была проанализирована частота встречаемости отдельных аллелей HLA в исследуемой и контрольной группах. Полученные результаты представлены на рисунках 2-7. Аллель HLA-A\*01:01:01 статистически достоверно чаще встречался в исследуемой группе (ОШ = 2,15; 95 % ДИ: 1,43-3,23;  $p_{\text{FDR}}$  = 0,0128), эффект был более выражен для пациентов с АИГ, чем с ПС. Частота встречаемости НLА-В\*08:01:01 в исследуемой группе была статистически значимо выше, чем в контрольной группе (ОШ = 3,38; 95 % ДИ: 2,10—5,44;  $p_{\scriptscriptstyle \mathrm{FDR}}$  < 0,01). HLA-B\*08:01:01 с одинаковой частотой встречался среди пациентов как с АИГ, так и с ПС. Аллель HLA-С\*07:01:01 статистически достоверно чаще встречался в исследуемой группе (ОШ = 1,90; 95 % ДИ: 1,30- $2,78;\; p_{{}_{\mathrm{FDR}}}\;=0,0391),\;$  эффект был более выражен для пациентов с АИГ, чем с ПС. Частота встречаемости HLA-DPB1\*01:01:01 в исследуемой группе была статистически значимо выше, чем в контрольной группе (ОШ = 3,22; 95 % ДИ: 1,58-6,55;  $p_{_{\mathrm{FDR}}}=0.0433$ ). Данный эффект был более выражен для пациентов с АИГ, чем с ПС. Частота аллеля DQB1\*02:01:01 была увеличена в исследуемой группе по сравнению с контролем (ОШ = 3,11; 95 % ДИ: 2,06–4,70;  $p_{\rm FDR} < 0,01$ ). При этом данный аллель с одинаковой частотой встречался среди пациентов как с АИГ, так и с ПС. Частота встречаемости аллеля DOB1\*03:01:01 была снижена в исследуемой группе по сравнению с контролем (ОШ = 0,49; 95 % ДИ: 0,34-0,71;  $p_{\text{FDR}} = 0,0083$ ). HLA-DRB1\*03:01:01 Аллель статистически

**Таблица 2.** Аллели генов HLA, встречаемость которых различается в исследуемой и контрольной группах ( $p_{\text{FDR}} < 0.05$ )

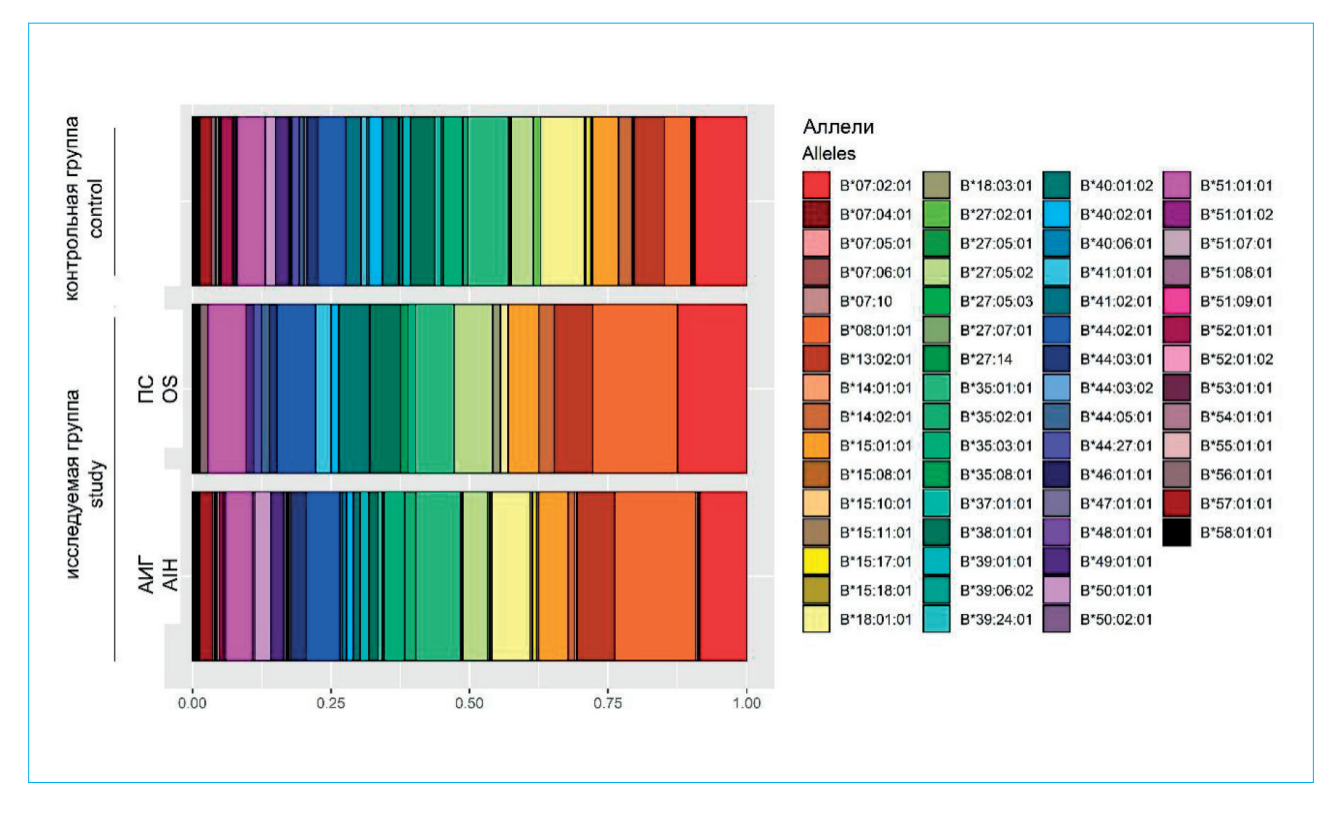
**Table 2.** Alleles of HLA genes, which occurrence differs in the study and control groups ( $p_{EDP} < 0.05$ )

Аллель Allele	Исследуемая группа Study group n = 160	Контрольная группа Control group n = 320	$p_{_{\chi 2}}$	$oldsymbol{p}_{ ext{FDR}}$	ОШ (95% ДИ) OR (95% CI)
A*01:01:01	52	53	0,0003	0,0128	2,15 (1,43; 3,23)
B*08:01:01	47	31	$2,7910^{-7}$	$2,01 \times 10^{-5}$	3,38 (2,10; 5,44)
C*07:01:01	59	68	0,0011	0,0391	1,90 (1,30; 2,78)
DPB1*01:01:01	20	13	0,0014	0,0433	3,22 (1,58; 6,55)
DQB1*02:01:01	61	45	$3,85 \times 10^{-8}$	$6,05 \times 10^{-6}$	3,11 (2,06; 4,70)
DQB1*03:01:01	44	157	0,0002	0,0083	0,49 (0,34; 0,71)
DRB1*03:01:01	62	47	$5,60 \times 10^{-8}$	$6,05 \times 10^{-6}$	3,03 (2,02; 4,55)



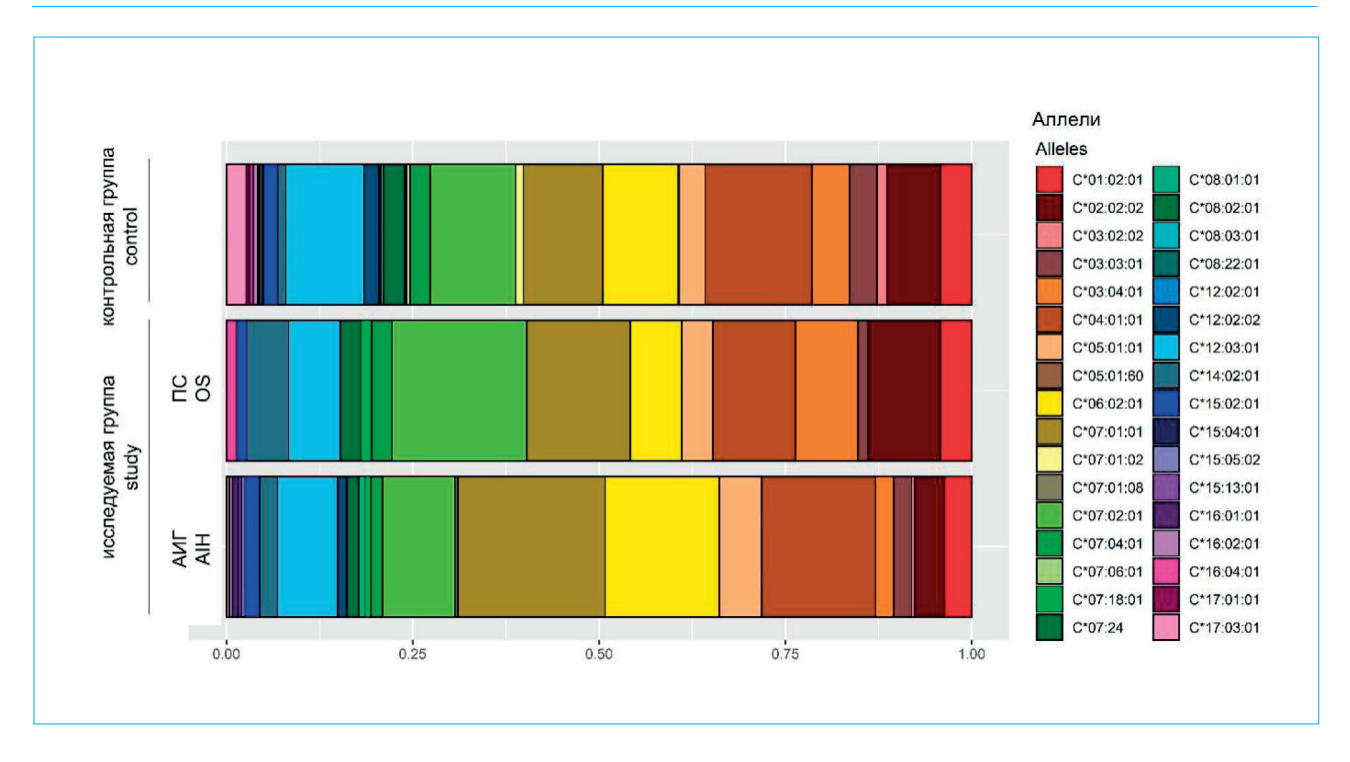
**Рисунок 2.** Распределение аллелей гена HLA-A в исследуемой и контрольной группах. Исследуемая группа включала пациентов с диагностированным аутоиммунным гепатитом (АИГ; n = 124) и перекрестным синдромом (ПС; n = 36)

**Figure 2.** Distribution of HLA-A gene alleles in the study and control groups. The study group included patients diagnosed with autoimmune hepatitis (AIH; n = 124) and overlap syndrome (OS; n = 36)



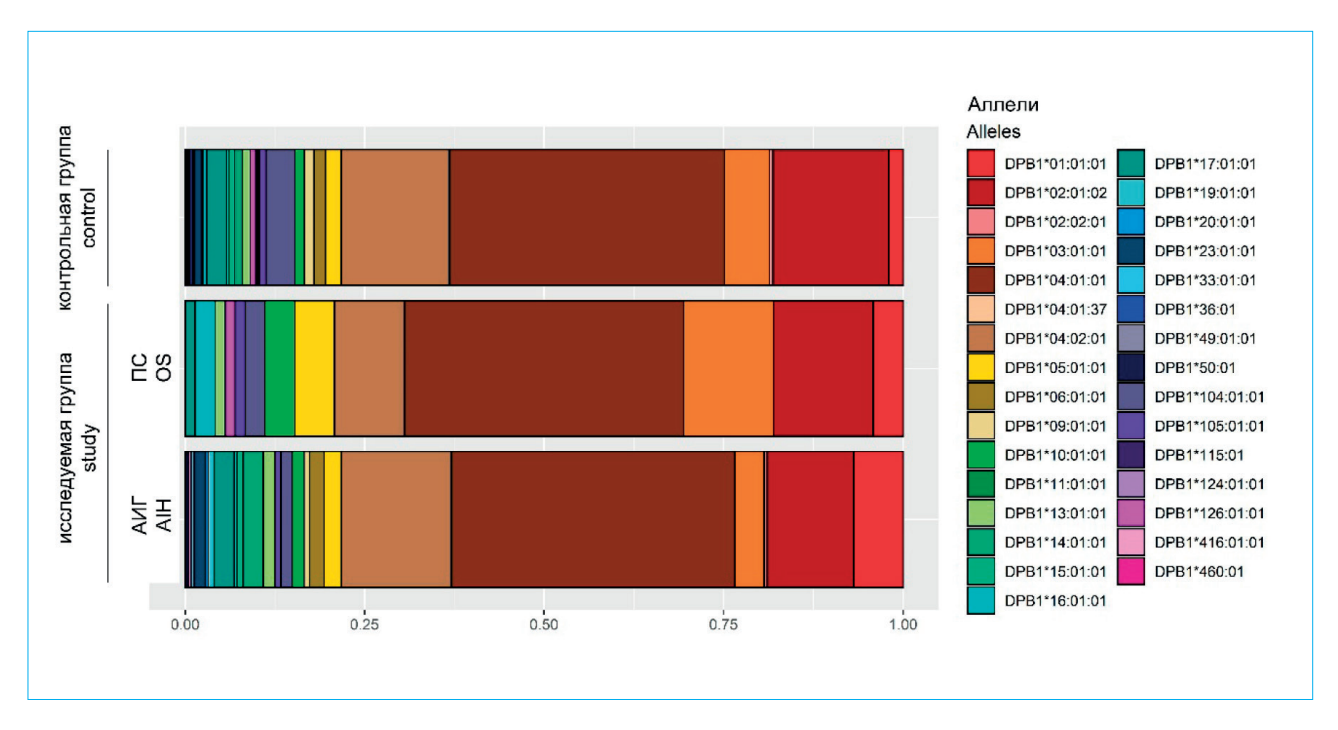
**Рисунок 3.** Распределение аллелей гена HLA-B в исследуемой и контрольной группах. Исследуемая группа включала пациентов с диагностированным аутоиммунным гепатитом (АИГ; n=124) и перекрестным синдромом (ПС; n=36)

**Figure 3.** Distribution of HLA-B gene alleles in the study and control groups. The study group included patients diagnosed with autoimmune hepatitis (AIH; n = 124) and overlap syndrome (OS; n = 36)



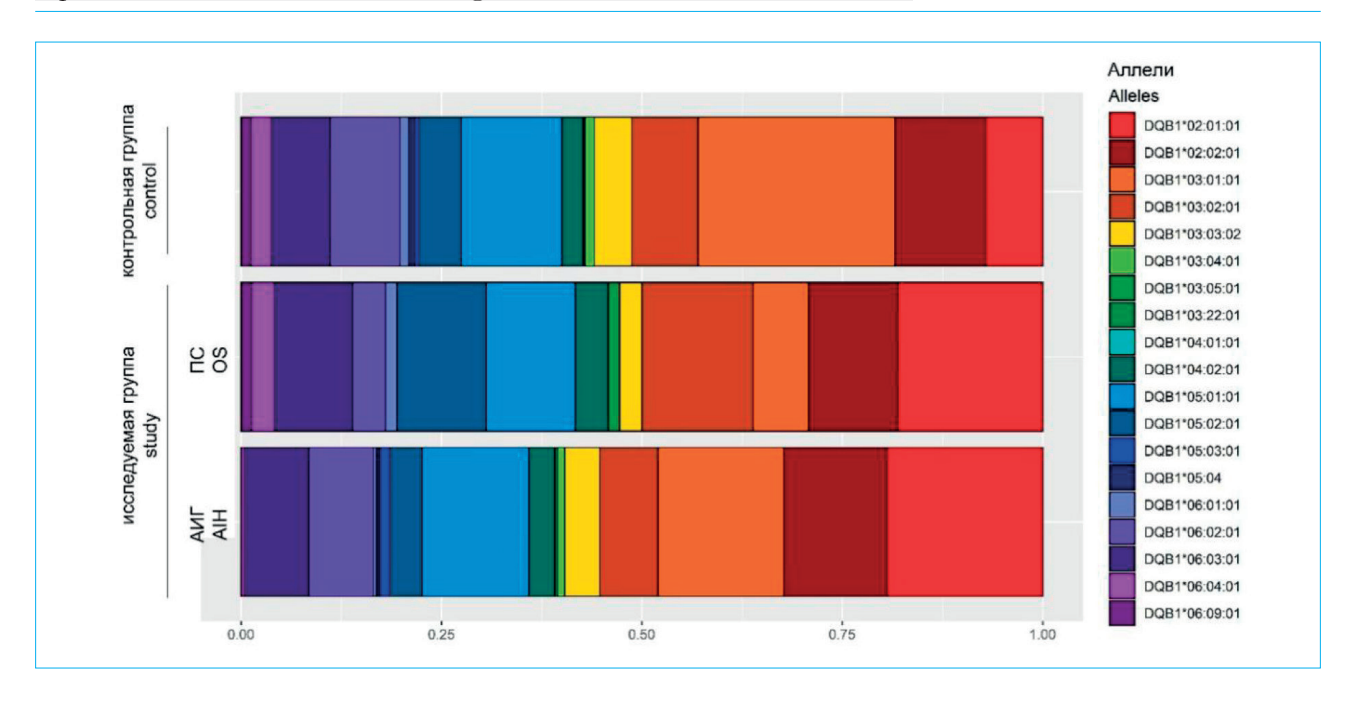
**Рисунок 4.** Распределение аллелей гена HLA-C в исследуемой и контрольной группах. Исследуемая группа включала пациентов с диагностированным аутоиммунным гепатитом (АИГ; n=124) и перекрестным синдромом (ПС; n=36)

**Figure 4.** Distribution of HLA-C gene alleles in the study and control groups. The study group included patients diagnosed with autoimmune hepatitis (AIH; n = 124) and overlap syndrome (OS; n = 36)



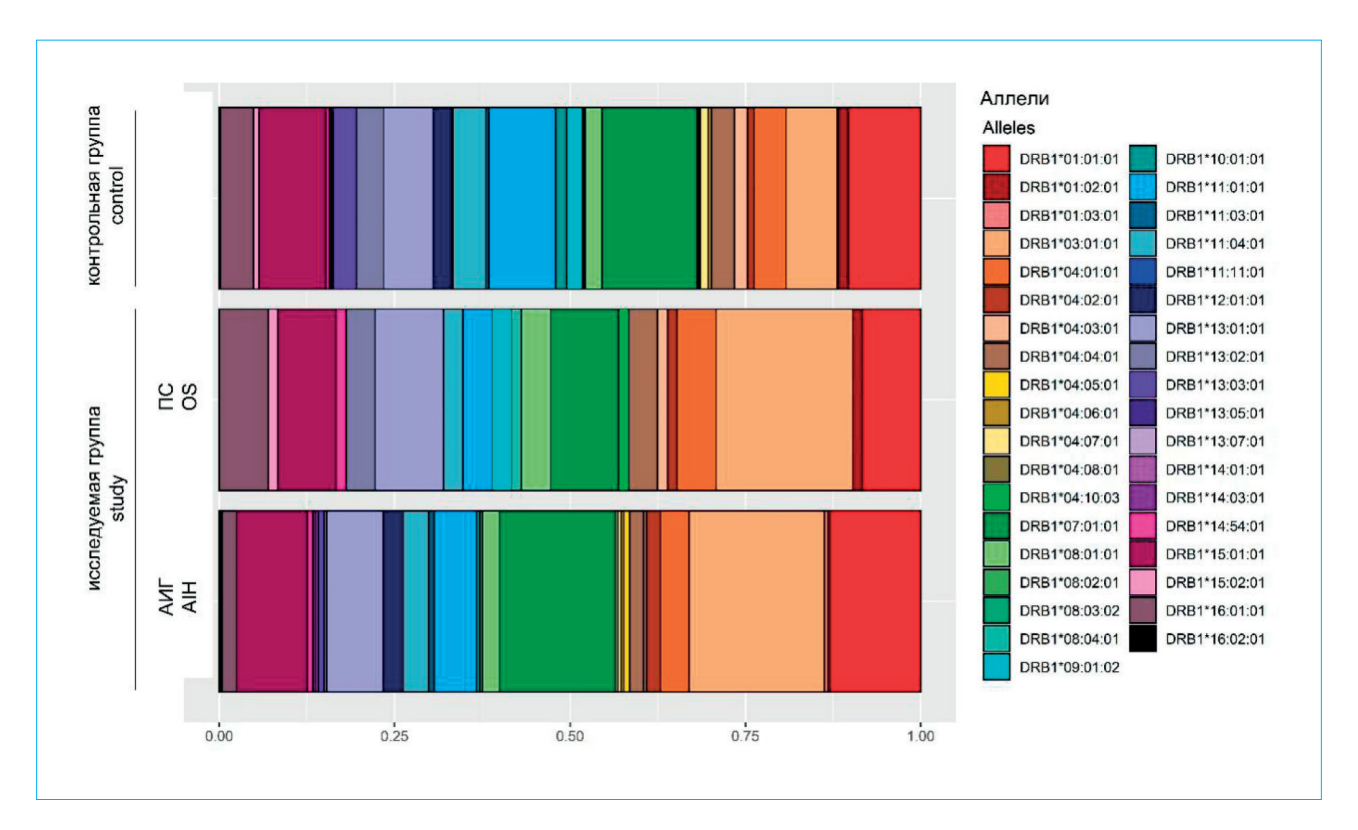
**Рисунок 5.** Распределение аллелей гена HLA-DPB1 в исследуемой и контрольной группах. Исследуемая группа включала пациентов с диагностированным аутоиммунным гепатитом (АИГ; n=124) и перекрестным синдромом (ПС; n=36)

**Figure 5.** Distribution of HLA-DPB1 gene alleles in the study and control groups. The study group included patients diagnosed with autoimmune hepatitis (AIH; n = 124) and overlap syndrome (OS; n = 36)



**Рисунок 6.** Распределение аллелей гена HLA-DQB1 в исследуемой и контрольной группах. Исследуемая группа включала пациентов с диагностированным аутоиммунным гепатитом (АИГ; n=124) и перекрестным синдромом (ПС; n=36)

**Figure 6.** Distribution of HLA-DQB1 gene alleles in the study and control groups. The study group included patients diagnosed with autoimmune hepatitis (AIH; n = 124) and overlap syndrome (OS; n = 36)



**Рисунок 7.** Распределение аллелей гена HLA-DRB1 в исследуемой и контрольной группах. Исследуемая группа включала пациентов с диагностированным аутоиммунным гепатитом (АИГ; n=124) и перекрестным синдромом (ПС; n=36)

**Figure 7.** Distribution of HLA-DRB1 gene alleles in the study and control groups. The study group included patients diagnosed with autoimmune hepatitis (AIH; n = 124) and overlap syndrome (OS; n = 36)

**Таблица 3.** Гаплотипы генов HLA, встречаемость которых различается в исследуемой и кон-

трольной группах ( $p_{\rm FDR} < 0.05$ ) **Table 3.** Haplotypes of HLA genes, which occurrence differs in the study and control groups  $(p_{\text{FDR}} < 0.05)$ 

Гаплотип <i>Haplotype</i>	Исследуемая группа Study group n = 160	Контрольная группа Control group n = 320	$oldsymbol{p}_{\chi 2}$	$oldsymbol{p}_{ ext{FDR}}$	ОШ (95 % ДИ) OR (95 % CI)
A*01:01:01-B*08:01:01-C*07:01:01- DQB1*02:01:01-DRB1*03:01:01	32	16	$5,66 \times 10^{-7}$	0,0340	4,75 (2,52; 8,96)
A*01:01:01-B*08:01:01-C*07:01:01- DQB1*02:01:01	32	16	$5,66 \times 10^{-7}$	0,0075	4,75 (2,52; 8,96)
A*01:01:01-B*08:01:01-C*07:01:01- DRB1*03:01:01	32	16	$5,66 \times 10^{-7}$	0,0075	4,75 (2,52; 8,96)
A*01:01:01-B*08:01:01- DQB1*02:01:01-DRB1*03:01:01	33	17	$5,21 \times 10^{-7}$	0,0075	4,63 (2,49; 8,62)
A*01:01:01-C*07:01:01- DQB1*02:01:01-DRB1*03:01:01	32	16	$5,66 \times 10^{-7}$	0,0075	4,75 (2,52; 8,96)
B*08:01:01-C*07:01:01- DQB1*02:01:01-DRB1*03:01:01	39	21	$6,09 \times 10^{-8}$	0,0040	4,59 (2,59; 8,12)
A*01:01:01-B*08:01:01-C*07:01:01	33	19	$2,30 \times 10^{-6}$	0,0081	4,12 (2,26; 7,51)
A*01:01:01-B*08:01:01- DQB1*02:01:01	33	17	$5,21 \times 10^{-7}$	0,0022	4,63 (2,49; 8,62)
A*01:01:01-B*08:01:01- DRB1*03:01:01	33	17	$5,21 \times 10^{-7}$	0,0022	4,63 (2,49; 8,62)
A*01:01:01-C*07:01:01- DQB1*02:01:01	32	16	$5,66 \times 10^{-7}$	0,0022	4,75 (2,52; 8,96)
A*01:01:01-C*07:01:01- DRB1*03:01:01	32	16	$5,66 \times 10^{-7}$	0,0022	4,75 (2,52; 8,96)
A*01:01:01-DQB1*02:01:01- DRB1*03:01:01	34	21	$4,02 \times 10^{-6}$	0,0127	3,84 (2,15; 6,88)
B*08:01:01-C*07:01:01- DQB1*02:01:01	39	21	$6,09 \times 10^{-8}$	0,0005	4,59 (2,59; 8,12)
B*08:01:01-C*07:01:01- DRB1*03:01:01	39	21	$6,09 \times 10^{-8}$	0,0005	4,59 (2,59; 8,12)
B*08:01:01-DQB1*02:01:01- DRB1*03:01:01	46	25	$2,61 \times 10^{-9}$	$8,23 \times 10^{-5}$	4,76 (2,79; 8,11)
C*07:01:01-DPB1*04:01:01- DQB1*02:01:01	27	15	$1,84 \times 10^{-5}$	0,0484	4,13 (2,13; 8,01)
C*07:01:01-DPB1*04:01:01- DRB1*03:01:01	27	15	$1,84 \times 10^{-5}$	0,0484	4,13 (2,13; 8,01)
C*07:01:01-DQB1*02:01:01- DRB1*03:01:01	42	23	$2,00 \times 10^{-8}$	0,0003	4,60 (2,65; 7,98)
A*01:01:01-B*08:01:01	34	20	$2,04 \times 10^{-6}$	0,0016	4,05 (2,24; 7,30)
A*01:01:01-C*07:01:01	36	27	$3,21 \times 10^{-5}$	0,0175	3,15 (1,83; 5,41)
A*01:01:01-DQB1*02:01:01	34	21	$4,02 \times 10^{-6}$	0,0024	3,84 (2,15; 6,88)
A*01:01:01-DRB1*03:01:01	34	21	$4,02 \times 10^{-6}$	0,0024	3,84 (2,15; 6,88)
B*08:01:01-C*07:01:01	40	26	$8,64 \times 10^{-7}$	0,0008	3,77 (2,20; 6,45)
B*08:01:01-DQB1*02:01:01	46	25	$2,61 \times 10^{-9}$	$7,10 \times 10^{-6}$	4,76 (2,79; 8,11)
B*08:01:01-DRB1*03:01:01	46	25	$2,61 \times 10^{-9}$	$7,10 \times 10^{-6}$	4,76 (2,79; 8,11)
C*07:01:01-DQB1*02:01:01	42	23	$2,00 \times 10^{-8}$	$2,72 \times 10^{-5}$	4,60 (2,65; 7,98)
C*07:01:01-DRB1*03:01:01	42	23	$2,00 \times 10^{-8}$	$2,72 \times 10^{-5}$	4,60 (2,65; 7,98)
DPB1*04:01:01-DQB1*02:01:01	36	28	$5,46 \times 10^{-5}$	0,0248	3,03 (1,77; 5,18)
DPB1*04:01:01-DRB1*03:01:01	36	28	$5,46 \times 10^{-5}$	0,0248	3,03 (1,77; 5,18)
DQB1*02:01:01-DRB1*03:01:01	58	44	$2,66 \times 10^{-8}$	$2,90 \times 10^{-5}$	3,57 (2,27; 5,61)

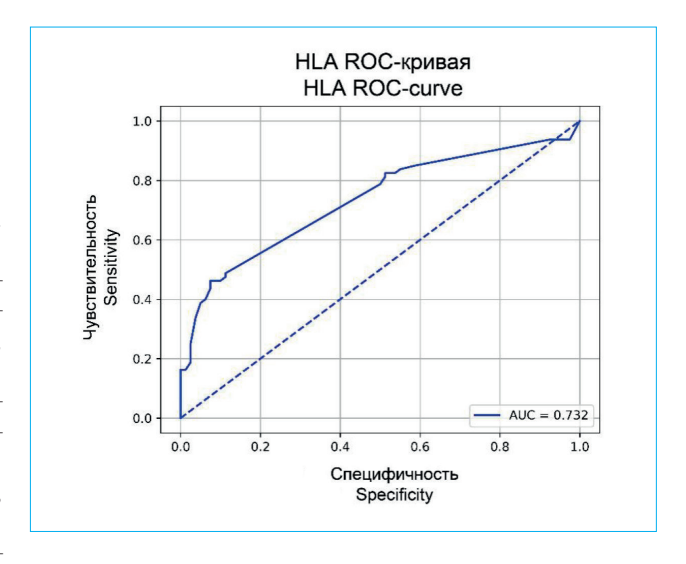
достоверно чаще встречался в исследуемой группе по сравнению с контрольной группой (ОШ = 3,03; 95 % ДИ: 2,02—4,55;  $p_{\rm FDR} < 0,01$ ). Данный аллель с одинаковой частотой встречался среди пациентов как с АИГ, так и с ПС. В целом, мы не наблюдали значимых различий встречаемости аллелей HLA в зависимости от пола участников исследования. Описанные результаты представлены в таблице 2.

Также была проанализирована встречаемость гаплотипов HLA в исследуемой и контрольной группах. Принимая в расчет, что аллели HLA-A\*01:01:01, HLA-B\*08:01:01, HLA-C\*07:01:01, HLA-DQB1\*02:01:01 и HLA-DRB1\*03:01:01 статистически достоверно чаще встречались в исследуемой группе, гаплотипы данных аллелей также чаще регистрировались у участников исследования с АИГ и ПС. Кроме того, в исследуемой группе чаще встречались гаплотипы DPB1\*04:01:01-DQB1\*02:01:01 и DPB1\*04:01:01-DRB1\*03:01:01. В таблице 3 приведены гаплотипы, частота встречаемости которых статистически достоверно различалась для исследуемой группы и группы сравнения

Для оценки аллелей генов *HLA* в качестве прогностических маркеров использовалась логистическая регрессия. Для выравнивания шансов половина группы сравнения была случайным образом удалена; таким образом, в анализе использовались по 160 участников исследуемой группы и группы сравнения. Была построена таблица, отображающая наличие или отсутствие аллелей и гаплотипов, приведенных в таблицах 2 и 3. Участники исследования были поделены поровну на две выборки со стратификацией по заболеванию. Первая группа использовалась для обучения модели логистической регрессии, вторая для тестирования. Для модели логистической регрессии были получены следующие параметры: точность -0.688, чувствительность -0.487, специфичность — 0,887. Полученная ROC-кривая представлена на рисунке 8.

### Обсуждение

В данной работе были получены распределения аллелей генов HLA-A/B/C/DPB1/DQB1/DRB1 на репрезентативной выборке пациентов с АИГ/ПС и условно здоровых участников исследования. Нами была обнаружена статистически достоверная ассоциация аллелей А\*01:01:01, B\*08:01:01, C\*07:01:01 с АИГ/ПС. В большинстве недавних исследований, посвященных HLA и АИГ, аллели данных генов не определялись. Интересно, что в ряде ранних работ отмечены данные аллели. Впервые ассоциация HLA-A1 и HLA-B8 была отмечена в работе I.R. Mackay и Р.J. Morris (1972) и позже была отмечена еще в ряде работ [26-29]. B работе M.D. Strettell et al. (1997) была отмечена повышенная частота встречаемости HLA-C\*07 на выборке из 87 пациентов с АИГ и 100 условно здоровых участников английской популяции [30].



**Рисунок 8.** ROC-кривая логистической регрессии, построенной на аллелях и гаплотипах, приведенных в таблицах 1 и 2; AUC — площадь под кривой

**Figure 8.** ROC-curve of logistic regression built on the alleles and haplotypes given in Tables 1 and 2; AUC — area under the curve

Также нами было отмечено, что аллель HLA-DPB1\*01:01:01 достоверно чаще определяется в исследуемой группе по сравнению с контрольной. По нашим сведениям, данное наблюдение не было отмечено в других работах. G. Opelz et al. (1977) выявили, что аллель DPB1\*04 более характерен для пациентов с АИГ в сравнении с группой здорового населения (26 аллелей на 38 пациентов с АИГ, 22 аллеля на 91 контроль) в датской популяции [28]. В нашем исследовании частота встречаемости DPB1\*04:01:01 в исследуемой и контрольной группах не различалась. Аллель HLA-DQB1\*02:01:01 встречался с большей частотой в исследуемой группе, чем в контрольной. Данное наблюдение согласуется с результатами исследований как на российской популяции [22], так и на английской [31].

Аллель DQB1\*03:01:01 статистически достоверно чаще встречался в контрольной группе, чем в исследуемой. В работе M.N. Vázquez-García et al. (1998) на мексиканской популяции данный аллель также чаще регистрировался в контрольной группе, чем у пациентов с АИГ [32]. Аллели гена *HLA-DRB1* наиболее часто встречаются в исследованиях АИГ. В настоящей работе была получена статистически достоверная ассоциация между DRB1\*03:01:01 и АИГ. Следует отметить, что DRB1\*03 является хорошо описанным фактором риска для многих популяций [29, 31, 33, 34]. Согласно литературным данным, аллель DRB1\*04 также часто ассоциирован с АИГ. Например, повышенная частота DRB1\*04 была отмечена для российской [22], мексиканской [32] и индийской популяций [35]. Однако в данном исследовании частота встречаемости аллелей

DRB1\*04 в исследуемой и контрольной группах значимо не различалась. При этом гаплотипы DPB1\*04:01:01-DQB1\*02:01:01 и DPB1\*04:01:01-DRB1\*03:01:01 чаще встречались в исследуемой группе.

Для проверки возможности использования описанных аллелей/гаплотипов как предикторов АИГ нами была использована модель логистической регрессии. Данная модель характеризовалась сравнительно небольшой точностью (0,688), что может отражать то, что развитие АИГ и ПС может быть связано со множеством факторов, кроме генов HLA. Была получена сравнительно низкая чувствительность (0,487). В целом низкая чувствительность генетических факторов при аутоиммунных болезнях со сложным генезом является нормальной, так как развитие болезни, очевидно, зависит от множества факторов. Например, было показано, что более 90 % пациентов с анкилозирующим спондилитом обладают аллелем HLA-B\*27 [36], но в то же время только у 1-2 % носителей данного аллеля развивается заболевание [37]. При этом в нашем исследовании модель логистической регрессии характеризовалась сравнительно высокой специфичностью (0,887). В целом можно отметить, что, несмотря на невысокую точность предсказания, с учетом

высокой специфичности аллели HLA могут быть использованы для определения вероятной группы риска.

#### Выводы

В настоящем исследовании на репрезентативной выборке российской популяции были определены аллели и гаплотипы генов *HLA*, потенциально ассоциированные с развитием АИГ и его ПС. Проведенное исследование в отношении российской выборки пациентов с АИГ по определению роли генов системы *HLA* в развитии заболевания указывает на значимые отличия встречаемости отдельных аллелей в исследуемой группе. В целом, полученные нами результаты соответствуют данным, представленным в ряде зарубежных работ. В частности, аллель HLA-DRB1\*03:01:01 был ассоциирован с заболеванием, что отражено во множестве публикаций. Модель логистической регрессии, построенная на полученных данных, не отличалась высокой точностью, что может быть связано со сложным генезом заболевания и множеством предикторов. С другой стороны, высокая специфичность модели может говорить о том, что на основании аллелей генов *HLA* возможно сформировать потенциальную группу риска.

#### Литература / References

- Hahn J.W., Yang H.R., Moon J.S., Chang J.Y., Lee K., Kim G.A., et al. Global incidence and prevalence of autoimmune hepatitis, 1970–2022: A systematic review and meta-analysis. EClinicalMedicine. 2023;65:102280. DOI: 10.1016/j.eclinm.2023.102280
- Grønbæk L., Vilstrup H., Jepsen P. Autoimmune hepatitis in Denmark: Incidence, prevalence, prognosis, and causes of death. A nationwide registry-based cohort study. J Hepatol. 2014;60(3):612-7. DOI: 10.1016/j.jhep.2013.10.020
- 3. Bittermann T., Lewis J.D., Levy C., Goldberg D.S. Sociodemographic and geographic differences in the US epidemiology of autoimmune hepatitis with and without cirrhosis. Hepatology. 2023;77(2):367–78. DOI: 10.1002/hep.32653
- Lim J., Kim H.J. Epidemiology of autoimmune liver disease in Korea: Evidence from a nationwide real-world database. Orphanet J Rare Dis. 2024;19(1):178. DOI: 10.1186/s13023-024-03086-0
- Durazzo M., Belci P., Collo A., Prandi V., Pistone E., Martorana M., et al. Gender specific medicine in liver diseases: A point of view. World J Gastroenterol. 2014;20(9):2127–35. DOI: 10.3748/wjg.v20.i9.2127
- Buzzetti E., Parikh P.M., Gerussi A., Tsochatzis E. Gender differences in liver disease and the drug-dose gender gap. Pharmacol Res. 2017;120:97–108. DOI: 10.1016/j.phrs.2017.03.014
- Higuchi T., Oka S., Furukawa H., Tohma S., Yatsuhashi H., Migita K. Genetic risk factors for autoimmune hepatitis: Implications for phenotypic heterogeneity and biomarkers for drug response. Hum Genomics. 2021;15(1):6. DOI: 10.1186/s40246-020-00301-4
- 8. Sirbe C., Simu G., Szabo I., Grama A., Pop T.L. Pathogenesis of autoimmune hepatitis-cellular and molecular mechanisms. Int J Mol Sci. 2021;22(24):13578. DOI: 10.3390/ijms222413578
- Alvarez F., Berg P.A., Bianchi F.B. Bianchi L., Burroughs A.K., Cancado E.L., et al. International Autoimmune Hepatitis Group report: Review of criteria for diagno-

- sis of autoimmune hepatitis. *J Hepatol.* 1999;31(5):929–38. DOI: 10.1016/s0168-8278(99)80297-9
- Manns M.P., Lohse A.W., Vergani D. Autoimmune hepatitis — Update 2015. J Hepatol. 2015;62(1 Suppl):S100—1. DOI: 10.1016/j.jhep.2015.03.005
- Czaja A.J. Behavior and significance of autoantibodies in type 1 autoimmune hepatitis. *J Hepatol.* 1999;30(3):394– 401. DOI: 10.1016/s0168-8278(99)80096-8
- 12. Muratori P., Lalanne C., Fabbri A., Cassani F., Lenzi M., Muratori L., et al. Type 1 and type 2 autoimmune hepatitis in adults share the same clinical phenotype. Aliment Pharmacol Ther. 2015;41(12):1281–7. DOI: 10.1111/apt.13210
- 13. Сандлер Ю.Г., Винницкая Е.В., Александрова Е.Н. Клинические фенотипы аутоиммунного гепатита. Эффективная фармакотерапия. 2024;20(2):86—97. [Sandler Y.G., Vinnitskaya E.V., Aleksandrova E.N. Clinical phenotypes of autoimmune hepatitis. Effective pharmacotherapy. 2024;20(2):86—97. (In Russ.)]. DOI: 10.33978/2307-3586-2024-20-2-86-97
- 14. Freedman B.L., Danford C.J., Patwardhan V., Bonder A. Treatment of overlap syndromes in autoimmune liver disease: A systematic review and meta-analysis. J Clin Med. 2020;9(5):1449. DOI: 10.3390/jcm9051449
- Medhasi S., Chantratita N. Human leukocyte antigen (HLA) system: Genetics and association with bacterial and viral infections. J Immunol Res. 2022;2022:9710376. DOI: 10.1155/2022/9710376
- Berryman M.A., Ilonen J., Triplett E.W., Ludvigsson J. Important denominator between autoimmune comorbidities: A review of class II HLA, autoimmune disease, and the gut. Front Immunol. 2023;14:1270488. DOI: 10.3389/fimmu.2023.1270488
- Donaldson P.T. Genetics in autoimmune hepatitis. Semin Liver Dis. 2002;22(4):353–64. DOI: 10.1055/s-2002-35705
- 18. van Gerven N.M., de Boer Y.S., Zwiers A., Verwer B.J., Drenth J.P., van Hoek B., et al.; Dutch Autoimmune Hepatitis Study Group. HLA-DRB1\*03:01 and HLA-DRB1\*04:01 modify the presentation and outcome in auto-

- immune hepatitis type-1. *Genes Immun.* 2015;16(4):247–52. DOI: 10.1038/gene.2014.82
- Furumoto Y., Asano T., Sugita T., Abe H., Chuganji Y., Fujiki K., et al. Evaluation of the role of HLA-DR antigens in Japanese type 1 autoimmune hepatitis. BMC Gastroenterol. 2015;15:144. DOI: 10.1186/s12876-015-0360-9
- Pando M., Larriba J., Fernandez G.C., Fainboim H., Ciocca M., Ramonet M., et al. Pediatric and adult forms of type I autoimmune hepatitis in Argentina: Evidence for differential genetic predisposition. Hepatology. 1999;30(6):1374-80. DOI: 10.1002/hep.510300611
- 21. Zhang H.P., Liu Y.M., Li Z., Ma Y.X., Li L.J., Zhao D.T., et al. Clinical characteristics and HLA genotypes in Chinese patients with anti-SLA/LP-positive autoimmune hepatitis. Ann Transl Med. 2021;9(2):153. DOI: 10.21037/atm-20-8036
- 22. Барановский А.Ю., Мительглик У.А., Райхельсон К.Л., Марченко Н.В., Зубарева А.С., Семенов Н.В. и др. НLА-антигены I и II класса при ауто-иммунных заболеваниях печени в Северо-Западном регионе России. Вестник Северо-Западного государственного медицинского университета им. И.И. Мечникова. 2010;2(4):55–8. [Baranovsky A.Yu., Mitelglik U.A., Raikhelson K.L., Marchenko N.V., Zubareva A.S., Semenov N.V., et al. HLA-antigenes class I and II in autoimmune liver diseases in the North-Western region of Russia. Herald of North-Western State Medical University named after I.I. Mechnikov. 2010;2(4):55–8. (In Russ.)].
- Kishore A., Petrek M. Next-generation sequencing based HLA typing: Deciphering immunogenetic aspects of sarcoidosis. Front Genet. 2018;9:503. DOI: 10.3389/fgene.2018.00503
- 24. Hennes E.M., Zeniya M., Czaja A.J., Parés A., Dalekos G.N., Krawitt E.L., et al. Simplified criteria for the diagnosis of autoimmune hepatitis. Hepatology. 2008;48(1):169–76. DOI: 10.1002/hep.22322
- Wang S., Wang M., Chen L., Pan G., Wang Y., Li S.C. SpecHLA enables full-resolution HLA typing from sequencing data. Cell Rep Methods. 2023;3(9):100589. DOI: 10.1016/j.crmeth.2023.100589
- Mackay I.R., Morris P.J. Association of autoimmune active chronic hepatitis with HL-A1,8. Lancet. 1972;2(7781):793-5. DOI: 10.1016/s0140-6736(72)92149-6

#### Сведения об авторах

Чанышев Михаил Дамирович\* — кандидат биологических наук, старший научный сотрудник лаборатории геномных исследований, ФБУН «Центральный научно-исследовательский институт эпидемиологии» Федеральной службы по надзору в сфере защиты прав потребителей и благополучия человека.

Контактная информация: chanish@mail.ru; 111123, г. Москва, ул. Новогиреевская, За. ORCID: https://orcid.org/0000-0002-6943-2915

Сандлер Юлия Григорьевна — кандидат медицинских наук, старший научный сотрудник Научно-исследовательского отдела гепатологии, ГБУЗ «Московский клинический научнопрактический центр им. А.С. Логинова» Департамента здравоохранения города Москвы.

Контактная информация: sandlerjulia2012@gmail.com; 111123, г. Москва, ул. Новогиреевская, 1, корп. 1. ORCID: https://orcid.org/0000-0003-4291-812X

Власенко Наталья Викторовна — научный сотрудник лаборатории вирусных гепатитов, ФБУН «Центральный научноисследовательский институт эпидемиологии» Федеральной службы по надзору в сфере защиты прав потребителей и благополучия человека.

\* Автор, ответственный за переписку / Corresponding author

- 27. Lindberg J., Lindholm A., Lundin P., Iwarson S. Trigger factors and HL-A antigens in chronic active hepatitis. Br Med J. 1975;4(5988):77–9. DOI: 10.1136/bmj.4.5988.77
- Opelz G., Vogten A.J., Summerskill W.H., Schalm S.W., Terasaki P.I. HLA determinants in chronic active liver disease: Possible relation of HLA-Dw3 to prognosis. Tissue Antigens. 1977;9(1):36–40. DOI: 10.1111/j.1399-0039.1977.tb01077.x
- 29. Donaldson P.T., Doherty D.G., Hayllar K.M., McFarlane I.G., Johnson P.J., Williams R. Susceptibility to autoimmune chronic active hepatitis: Human leukocyte antigens DR4 and A1-B8-DR3 are independent risk factors. Henatology, 1991:13(4):701-6
- factors. Hepatology. 1991;13(4):701–6.

  30. Strettell M.D., Thomson L.J., Donaldson P.T., Bunce M., O'Neill C.M., Williams R. HLA-C genes and susceptibility to type 1 autoimmune hepatitis. Hepatology. 1997;26(4):1023–6. DOI: 10.1002/hep.510260434
- 31. Manabe K., Donaldson P.T., Underhill J.A., Doherty D.G., Mieli-Vergani G., McFarlane I.G., et al. Human leukocyte antigen A1-B8-DR3-DQ2-DPB1\*0401 extended haplotype in autoimmune hepatitis. Hepatology. 1993;18(6):1334–7.
- 32. Vázquez-García M.N., Aláez C., Olivo A., Debaz H., Pérez-Luque E., Burguete A., et al. MHC class II sequences of susceptibility and protection in Mexicans with autoimmune hepatitis. J Hepatol. 1998;28(6):985–90. DOI: 10.1016/s0168-8278(98)80347-4
- 33. Oliveira L.C., Porta G., Marin M.L., Bittencourt P.L., Kalil J., Goldberg A.C. Autoimmune hepatitis, HLA and extended haplotypes. Autoimmun Rev. 2011;10(4):189–93. DOI: 10.1016/j.autrev.2010.09.024
- 34. Terziroli Beretta-Piccoli B., Mieli-Vergani G., Vergani D. HLA, gut microbiome and hepatic autoimmunity. Front Immunol. 2022;13:980768. DOI: 10.3389/fimmu.2022.980768
- 35. Kaur N., Minz R.W., Anand S., Saikia B., Aggarwal R., Das A., et al. HLA DRB1 alleles discriminate the manifestation of autoimmune hepatitis as type 1 or type 2 in North Indian population. J Clin Exp Hepatol. 2014;4(1):14–8. DOI: 10.1016/j.jceh.2013.12.002
- 36. Sheehan N.J. The ramifications of HLA-B27. J R Soc Med. 2004;97(1):10–4. DOI: 10.1177/014107680409700102
- Reveille J.D. The genetic basis of ankylosing spondylitis. Curr Opin Rheumatol. 2006;18(4):332-41.
   DOI: 10.1097/01.bor.0000231899.81677.04

#### Information about the authors

Mikhail D. Chanyshev\* — Cand. Sci. (Biol.), Senior Researcher, Laboratory for Genomic Research, Central Research Institute of Epidemiology of the Federal Service for Surveillance on Consumer Rights Protection and Human Wellbeing.

Contact information: chanish@mail.ru; 111123, Moscow, Novogireevskaya str., 3A. ORCID: https://orcid.org/0000-0002-6943-2915

**Yulia G. Sandler** — Cand. Sci. (Med.)., Senior Researcher, Hepatology Research Department, Loginov Moscow Clinical Scientific Center.

Contact information: sandlerjulia2012@gmail.com; 111123, Moscow, Novogireevskaya str., 1, build. 1. ORCID: https://orcid.org/0000-0003-4291-812X

Natalia V. Vlasenko — Researcher, Laboratory of Viral Hepatitis, Central Research Institute of Epidemiology of the Federal Service for Surveillance on Consumer Rights Protection and Human Wellbeing.

Контактная информация: vlasenko@cmd.su; 111123, г. Москва, ул. Новогиреевская, 3a. ORCID: https://orcid.org/0000-0002-2388-1483

Бодунова Наталья Александровна— кандидат медицинских наук, заведующий Центром персонализированной медицины, ГБУЗ «Московский клинический научно-практический центр им. А.С. Логинова» Департамента здравоохранения города Москвы.

Контактная информация: n.bodunova@mknc.ru; 111123, г. Москва, ул. Новогиреевская, 1, корп. 1. ORCID: https://orcid.org/0000-0002-3119-7673

Глущенко Альбина Григорьевна — лаборант лаборатории геномных исследований, ФБУН «Центральный научно-исследовательский институт эпидемиологии» Федеральной службы по надзору в сфере защиты прав потребителей и благополучия человека.

Контактная информация: albinagluschenko@gmail.com; 111123, г. Москва, ул. Новогиреевская, 3а. ORCID: https://orcid.org/0009-0002-8851-8703

**Чегодарь Анжелика Сергеевна** — врач-генетик Центра персонализированной медицины, ГБУЗ «Московский клинический научно-практический центр им. А.С. Логинова» Департамента здравоохранения города Москвы. Контактная информация: a.chegodar@mknc.ru; 111123, г. Москва, ул. Новогиреевская, 1, корп. 1. ORCID: https://orcid.org/0000-0001-7753-3698

Выходцева Анастасия Владимировна — технолог лаборатории геномных исследований, ФБУН «Центральный научно- исследовательский институт эпидемиологии» Федеральной службы по надзору в сфере защиты прав потребителей и благополучия человека.

Контактная информация: vyhodtseva@cmd.su; 111123, г. Москва, ул. Новогиреевская, 3a. ORCID: https://orcid.org/0009-0005-1911-9620

Винницкая Елена Владимировна — доктор медицинских наук, заведующий отделом гепатологии, ГБУЗ «Московский клинический научно-практический центр им. А.С. Логинова» Департамента здравоохранения города Москвы. Контактная информация: evinn@mail.ru; 111123, г. Москва, ул. Новогиреевская, 1, корп. 1. ORCID: https://orcid.org/0000-0002-0344-8375

Хафизов Камиль Фаридович — кандидат биологических наук, руководитель лаборатории геномных исследований, ФБУН «Центральный научно-исследовательский институт эпидемиологии» Федеральной службы по надзору в сфере защиты прав потребителей и благополучия человека. Контактная информация: kkhafizov@gmail.com;

111123, г. Москва, ул. Новогиреевская, За. ORCID: https://orcid.org/0000-0001-5524-0296

Акимкин Василий Геннадьевич — доктор медицинских наук, профессор, директор, ФБУН «Центральный научно-исследовательский институт эпидемиологии» Федеральной службы по надзору в сфере защиты прав потребителей и благополучия человека.

Контактная информация: vgakimkin@yandex.ru; 111123, г. Москва, ул. Новогиреевская, 3а. ORCID: https://orcid.org/0000-0003-4228-9044

Contact information: vlasenko@cmd.su; 111123, Moscow, Novogireevskaya str., 3A. ORCID: https://orcid.org/0000-0002-2388-1483

Natalia A. Bodunova — Cand. Sci. (Med.), Head of the Center for Personalized Medicine, Loginov Moscow Clinical Scientific Center.

Contact information: n.bodunova@mknc.ru; 111123, Moscow, Novogireevskaya str., 1, build. 1. ORCID: https://orcid.org/0000-0002-3119-7673

Albina G. Glushchenko — Laboratory Assistant, Laboratory for Genomic Research, Central Research Institute of Epidemiology of the Federal Service for Surveillance on Consumer Rights Protection and Human Wellbeing.

Contact information: albinagluschenko@gmail.com;

111123, Moscow, Novogireevskaya str., 3A. ORCID: https://orcid.org/0009-0002-8851-8703

Anzhelika S. Chegodar — Clinical Geneticist, Center for Personalized Medicine, Loginov Moscow Clinical Scientific Center. Contact information: a.chegodar@mknc.ru; 111123, Moscow, Novogireevskaya str., 1, build. 1. ORCID: https://orcid.org/0000-0001-7753-3698

Anastasiia V. Vykhodtseva — Technologist, Laboratory for Genomic Research, Central Research Institute of Epidemiology of the Federal Service for Surveillance on Consumer Rights Protection and Human Wellbeing.

Contact information: vyhodtseva@cmd.su; 111123, Moscow, Novogireevskaya str., 3A.

ORCID: https://orcid.org/0009-0005-1911-9620

**Elena V. Vinnitskaya** — Dr. Sci. (Med.), Head of the Hepatology Research Department, Loginov Moscow Clinical Scientific Center.

Contact information: evinn@mail.ru;
111123 Moscow Novogireevskaya str

111123, Moscow, Novogireevskaya str., 1, build. 1. ORCID: https://orcid.org/0000-0002-0344-8375

Kamil F. Khafizov — Cand. Sci. (Biol.), Head of Laboratory for Genomic Research, Central Research Institute of Epidemiology of the Federal Service for Surveillance on Consumer Rights Protection and Human Wellbeing.

Contact information: kkhafizov@gmail.com; 111123, Moscow, Novogireevskaya str., 3A. ORCID: https://orcid.org/0000-0001-5524-0296

Vasiliy G. Akimkin — Dr. Sci. (Med.), Professor, Director, Central Research Institute of Epidemiology of the Federal Service for Surveillance on Consumer Rights Protection and Human Wellbeing.

Contact information: vgakimkin@yandex.ru; 111123, Moscow, Novogireevskaya str., 3A. ORCID: https://orcid.org/0000-0003-4228-9044

#### Вклад авторов

Концепция и дизайн исследования: Чанышев М.Д., Сандлер Ю.Г.

**Со́ор и обработка материалов:** Власенко Н.В., Бодунова Н.А., Чегодарь А.С., Выходцева А.В.

Статистическая обработка: Глущенко А.Г.

Написание текста: Чанышев М.Д., Сандлер Ю.Г.

Редактирование: Винницкая Е.В., Хафизов К.Ф., Акимкин В.Г. Проверка верстки и ее согласование с авторским коллек-

тивом: Чанышев М.Д.

#### Authors' contributions

Concept and design of the study: Chanyshev M.D., Sandler Yu.G.

Collection and processing of the material: Vlasenko N.V., Bodunova N.A., Chegodar A.S., Vykhodtseva A.V.

Statistical analysis: Glushchenko A.G.

Writing of the text: Chanyshev M.D., Sandler Yu.G. Editing: Vinnitskaya E.V., Khafizov K.F., Akimkin V.G. Proof checking and approval with authors: Chanyshev M.D.

Поступила: 22.08.2024 Принята: 24.10.2024 Опубликована: 30.04.2025 Submitted: 22.08.2024 Accepted: 24.10.2024 Published: 30.04.2025